

Calcolo Scientifico

Quarto Progetto

Žana Ilić - 898373

8 luglio 2019.

Esercizio

Si consideri l'integrale di Fredholm del primo tipo

$$\int_0^1 K(s, t) f(t) dt = g(s), \quad 0 \leq s \leq 1$$

associato con il calcolo della derivata seconda di una funzione g , ovvero tale che $f(t) = g''(t)$ per $0 \leq t \leq 1$. Quest'ultima è un'equazione differenziale del tipo:

$$f(t) = Lg(t), \quad \text{dove} \quad L = d^2/dt^2$$

cioè si tratta di un'equazione di Poisson. La funzione di Green associata all'operatore L è la soluzione di $LK(s, t) = \delta(s - t)$, dove δ è delta di Dirac. Si ottiene che il nostro kernel associato a questa operazione è:

$$K(s, t) = \begin{cases} s(t - 1), & s < t \\ t(s - 1), & s \geq t \end{cases}$$

Osserviamo che il kernel non è differenziabile in $s = t$. Verifichiamo che esso ammette la SVE data da:

$$\begin{cases} \mu_i = \frac{1}{(i\pi)^2} \\ u_i = \sqrt{2} \sin(i\pi s) \\ v_i = -\sqrt{2} \sin(i\pi t) \end{cases}$$

per ogni $i = 1, 2, \dots, +\infty$, dove μ_i sono gli valori singolari e u_i, v_i sono gli funzioni singolari. Una relazione fondamentale relativa a SVE è:

$$\int_0^1 K(s, t) v_i(t) dt = \mu_i u_i(s)$$

Vediamo che questa relazione è vera per ogni $i = 1, 2, \dots, +\infty$. Per trovare la soluzione dividiamo il problema in due domini, $s \geq t$ e $s < t$, cioè $0 \leq t \leq s$ e $s < t \leq 1$:

$$\int_0^1 K(s, t) v_i(t) dt = \int_0^s t(s-1)(-\sqrt{2}) \sin(i\pi t) dt + \int_s^1 s(t-1)(-\sqrt{2}) \sin(i\pi t) dt$$

calcolando tutto, si ottiene che

$$\int_0^1 K(s, t) v_i(t) dt = \frac{\sqrt{2}}{\pi^2 i^2} (\sin(i\pi s) - s \sin(i\pi))$$

ma poiché i è un numero intero positivo, si ha che $\sin(i\pi) = 0$ per ogni i . Concludiamo che vale relazione per ogni $i = 1, 2, \dots, +\infty$ cioè

$$\int_0^1 K(s, t) v_i(t) dt = \mu_i u_i(s) = \frac{\sqrt{2}}{\pi^2 i^2} (\sin(i\pi s)) = \mu_i u_i(s)$$

Ora discretizziamo il problema approssimando l'integrale con il metodo del punto medio con, successivamente, $n = 8, 16, 32, 64$ intervalli, considerando i punti di "misurazione" $s = s_i$, per $i = 1, 2, \dots, m$, con $m = 100$. Usiamo il metodo del punto medio:

$$g(s) = \int_0^1 K(s, t) f(t) dt = \frac{1}{n} \sum_{j=1}^n K(s, t_j) f(t_j) + \varepsilon_n$$

se trascuriamo l'errore, abbiamo per ogni $j = 1, \dots, n$:

$$g(s_i) = \frac{1}{n} \sum_{j=1}^n K(s_i, t_j) f(t_j)$$

Scriviamo il problema discreto ottenuto come il sistema lineare $A\mathbf{f} = \mathbf{g}$, con $A \in \mathbb{R}^{m \times n}$, $\mathbf{f} \in \mathbb{R}^{n \times 1}$, $\mathbf{g} \in \mathbb{R}^{m \times 1}$:

$$A = \frac{1}{n} \begin{pmatrix} K(s_1, t_1) & K(s_1, t_2) & \dots & K(s_1, t_n) \\ K(s_2, t_1) & K(s_2, t_2) & \dots & K(s_2, t_n) \\ \vdots & \vdots & & \vdots \\ K(s_m, t_1) & K(s_m, t_2) & \dots & K(s_m, t_n) \end{pmatrix}$$

$$\mathbf{f} = \begin{pmatrix} f(t_1) \\ f(t_2) \\ \vdots \\ f(t_n) \end{pmatrix}, \quad \mathbf{g} = \begin{pmatrix} g(s_1) \\ g(s_2) \\ \vdots \\ g(s_m) \end{pmatrix}$$

In Matlab calcoliamo la SVD di A con il comando `svd`. Così troviamo i valori singolari ottenuti con il metodo del punto medio σ_i , $i = 1, 2, \dots, n$ per $n = 64$. Tracciamo il grafico dell'errore $|\mu_i - \sigma_i|$, $i = 1, 2, \dots, n$.

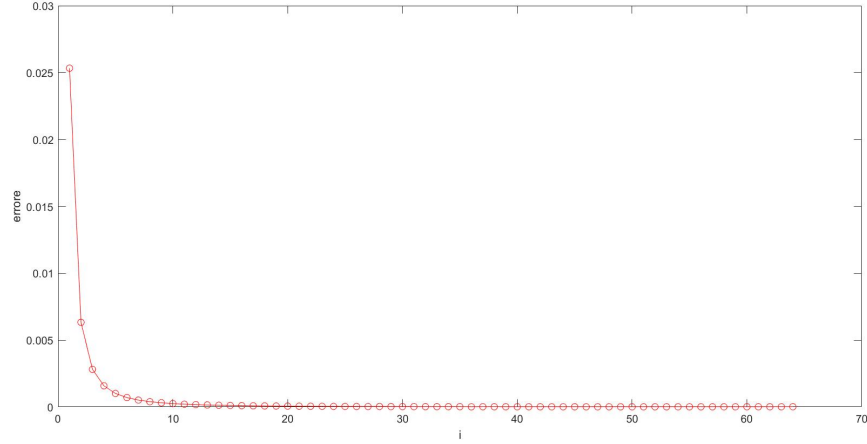


Figura 1: Il grafico dell'errore $|\mu_i - \sigma_i|$

Vediamo che per i numeri piccoli di i , l'errore è più grande, ma quando i si aumenta, errore è più piccolo. Come i valori singolari, anche l'errore decade a 0, in questo caso rapidamente. Ma se guardiamo questo grafico un

po più vicino, osserviamo che l'errore non decresce "uniformemente", cioè ci sono salti. Questo si vede in Figura 2.

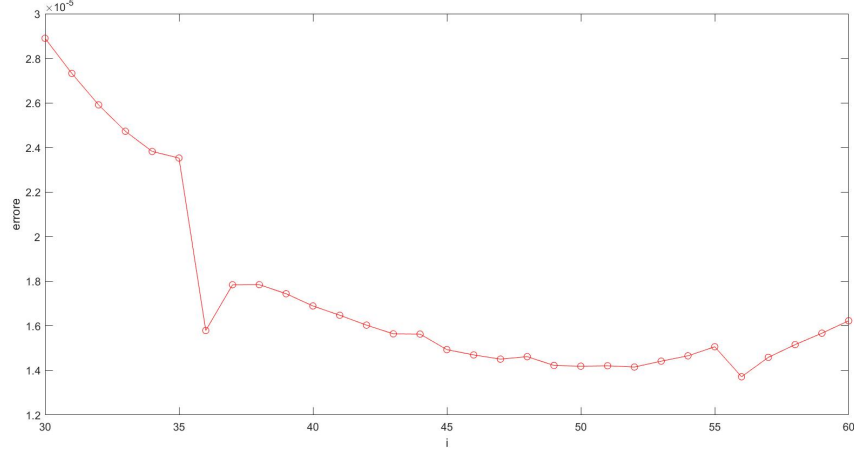


Figura 2: Il grafico dell'errore $|\mu_i - \sigma_i|$, solo per valori di i tra 35 e 60

In particolare,

$$A = UQV^t = \sum_{i=1}^n u_i \sigma_i v_i^t$$

dove Q è la matrice diagonale di valori singolari tali che $\sigma_1 \geq \dots \geq \sigma_n > 0$ cioè i valori singolari decadono gradualmente a zero senza salti e U, V sono gli matrici ortogonali di vettori singolari, cioè u_i e v_i sono rispettivamente i vettori singolari sinistri e destri di A :

$$Q = \text{diag}(\sigma_1, \dots, \sigma_n), \quad U = (u_1, \dots, u_n), \quad V = (v_1, \dots, v_n)$$

Allora $\|A\|_2 = \sigma_1$, $\|A^{-1}\|_2 = \sigma_n^{-1}$ e abbiamo che il condizionamento della matrice è:

$$\text{cond}(A) = \|A\|_2 \|A^{-1}\|_2 = \sigma_1 / \sigma_n$$

cioè la differenza tra il valore singolare più grande e il valore singolare più piccolo è molto grande. Più precisamente, in nostro caso è pari a 2.9×10^3 . Questo significa che il problema è mal-condizionato.

Sia ora

$$g(s) = \begin{cases} (4s^3 - 3s)/24, & s < 0.5, \\ (-4s^3 + 12s^2 - 9s + 1)/24, & s \geq 0.5. \end{cases}$$

Prima di tutto, vogliamo calcolare la soluzione esatta di $f(t)$, sapendo che $f(t) = g''(t)$ per $0 \leq t \leq 1$:

$$g'(t) = \begin{cases} t^2/2 - 1/8, & t < 0.5, \\ -t^2/2 + t - 3/8, & t \geq 0.5. \end{cases}, \quad g''(t) = \begin{cases} t, & t < 0.5, \\ 1 - t, & t \geq 0.5. \end{cases}$$

Fissiamo $n = 64$ e approssimiamo i valori della derivata seconda di g tramite la discretizzazione dell'integrale di Fredholm dato. Perturbiamo i dati g_i , $i = 1, \dots, m$, con un rumore gaussiano η_i (comando `randn`) tale che complessivamente $\|\eta\|_2 = 5 \times 10^{-5}$. Abbiamo che $g_i^{\text{perturbato}} = g_i^{\text{esatto}} + \eta_i$.

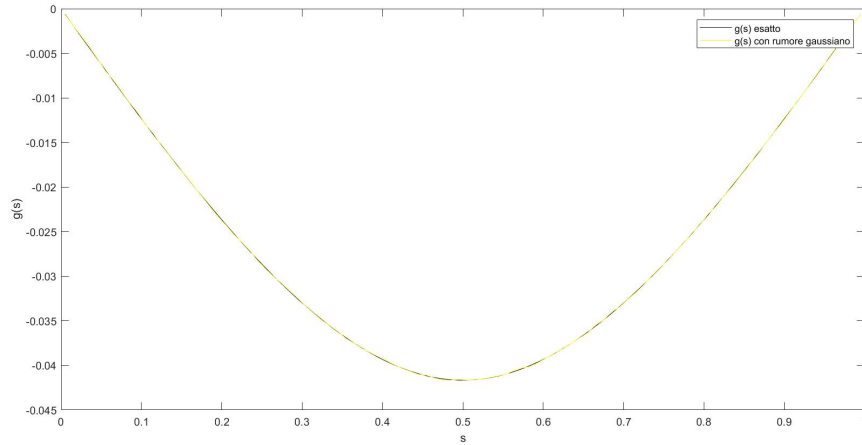


Figura 3: Il grafico di g esatto e g con il rumore gaussiano applicato

Risolviamo il sistema lineare $A\mathbf{f} = \mathbf{g}$ in maniera *naive*, ovvero senza nessun tipo di regolarizzazione. Consideriamo la soluzione ai minimi quadrati, cioè:

$$f_N = \min_f \{\|Af - g\|_2\}$$

dove f_N è la soluzione *naive*. Osserviamo che la matrice A ha rango pieno, e si ha:

$$f = \sum_{j=1}^n \frac{u_j^t g}{\sigma_j} v_j = \sum_{j=1}^n \frac{u_j^t g^{\text{esatto}}}{\sigma_j} v_j + \sum_{j=1}^n \frac{u_j^t \eta}{\sigma_j} v_j$$

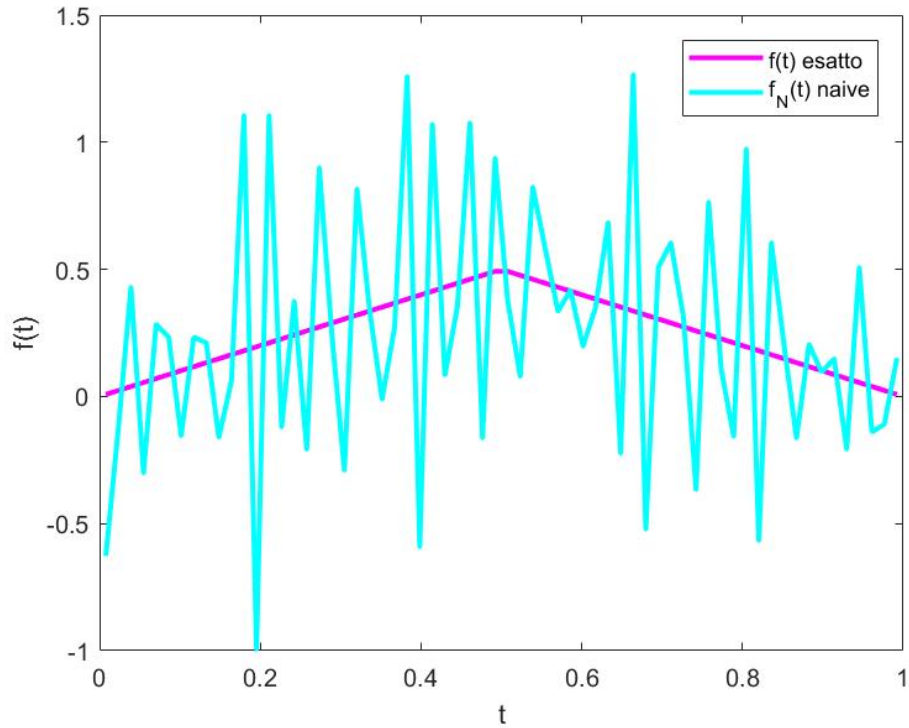


Figura 4: Il grafico di f esatto e f ottenuto in maniera *naive*

Concludiamo che la soluzione "naive" è molto diversa da quella esatta e che essa è inutile. Ci sono tanti valori di f_N molto diversi da f esatto. Poiché stiamo usando il comando `randn`, f_N è un po' diversa ogni volta.

Risolviamo ora il sistema lineare $Af = g$ usando la regolarizzazione di Tikhonov e vediamo cosa succede. Scriviamo la relazione:

$$f_\lambda = \min_f \{ \|Af - g\|_2^2 + \lambda \|f\|_2^2 \}$$

f_λ si scrive anche così:

$$f_\lambda = (A^t A + \lambda I)^{-1} A^t g$$

dove $\lambda \in \mathbb{R}^+$ è il parametro di regolarizzazione, $\|f\|_2^2$ è il termine di regolarizzazione e $\|Af - g\|_2^2$ è il residuo. Se $\lambda = 0$, abbiamo la soluzione "naive". Se λ è grande abbiamo regolarizzazione forte, la soluzione è più liscia. Se λ è piccolo, la soluzione è meglio di quella "naive", ma in ogni caso è dominata dal rumore.

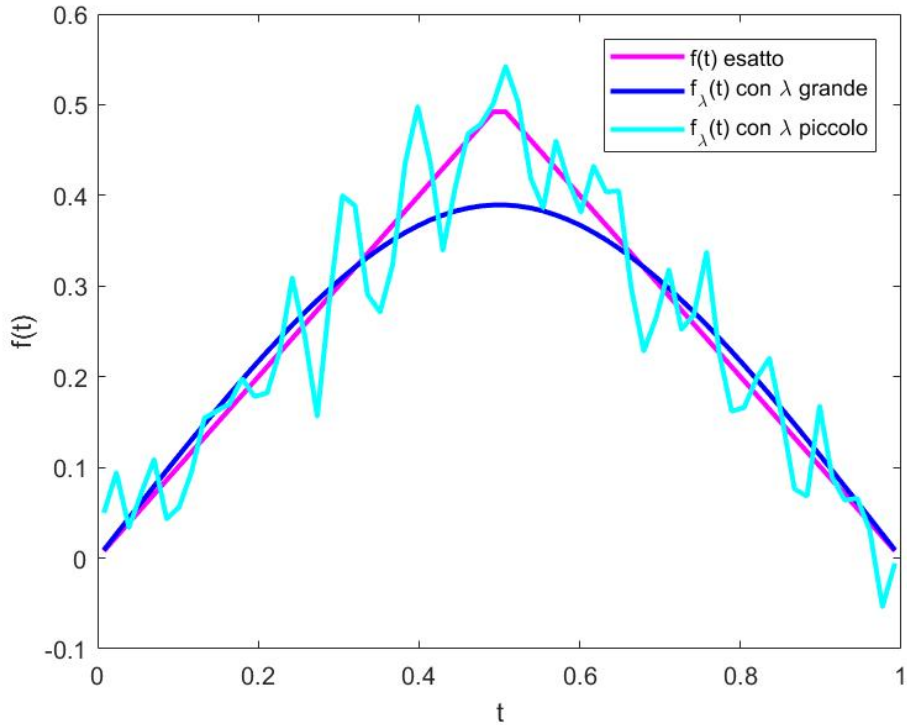


Figura 5: Il grafico di f esatto e f_λ con valori $\lambda = 10^{-3}$ e $\lambda = 10^{-7}$

Tracciamo anche la L-curva. Si ha che in presenza di valori singolari piccoli la norma della soluzione $\|f\|_2$ aumenta e si allontana da quella esatta pur diminuendo il residuo $\|Af - g\|_2^2$.

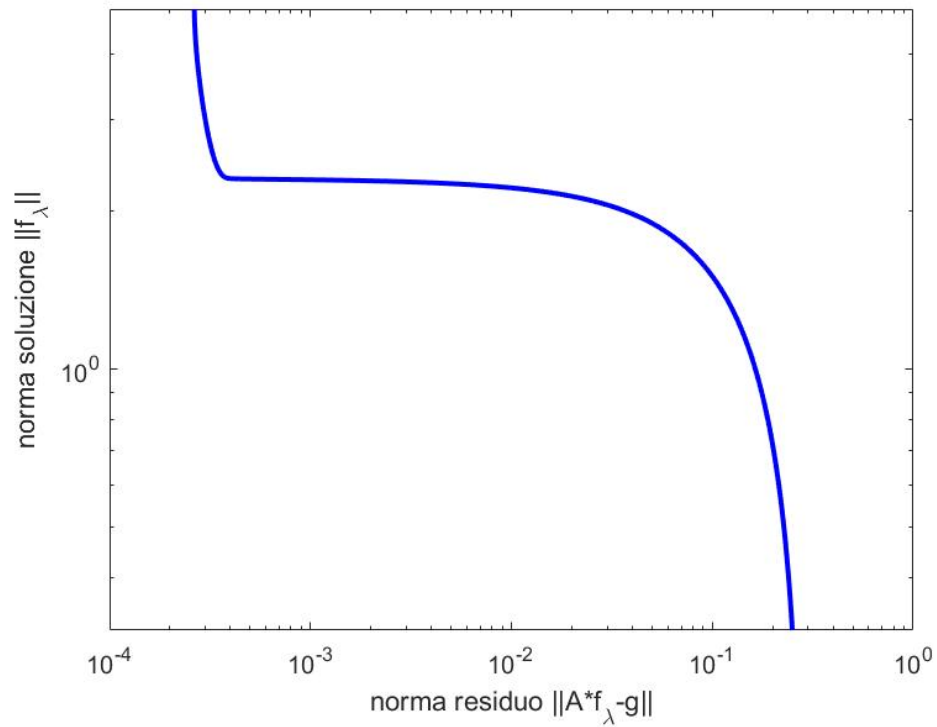


Figura 6: L-curva con i valori di λ tra 10^{-10} e 10^{-1}

Alla fine risolviamo il sistema lineare $A\mathbf{f} = \mathbf{g}$ usando la SVD troncata opportunamente (TSVD). A tale scopo, vogliamo scartare i coefficienti di SVD corrispondenti ai più piccoli valori singolari che creano problemi nella soluzione, così la matrice mal condizionata si sostituisce con una matrice di rango minore k ben condizionata:

$$A_k = UQ_kV^t = \sum_{j=1}^k u_j \sigma_j v_j^t, \quad k < n$$

Risolviamo il sistema $A_k \mathbf{f}_k = \mathbf{g}$ in modo da soddisfare:

$$\min \|f\|_2 \quad \text{tale che} \quad \min \|A_k f - g\|_2$$

Le soluzioni di TSVD sono calcolate come:

$$f_k = \sum_{j=1}^k \frac{u_j^t g}{\sigma_j} v_j, \quad k < n$$

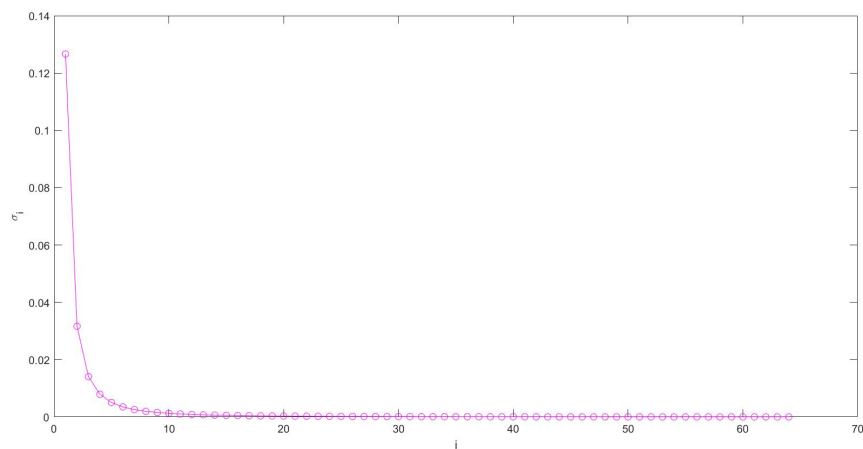


Figura 7: Il grafico dei valori singolari

Abbiamo già detto che $\sigma_1 \geq \dots \geq \sigma_n > 0$ cioè i valori singolari decadono gradualmente a zero senza salti. In questo caso vogliamo solo $k < n$ valori singolari, e che tutti gli altri $n - k$ diventino uguali a 0. Dal grafico osserviamo che solo i primi dieci-quindici valori singolari hanno valore maggiore di 0.001. Fissiamo questa soglia e troviamo la matrice Q_k .

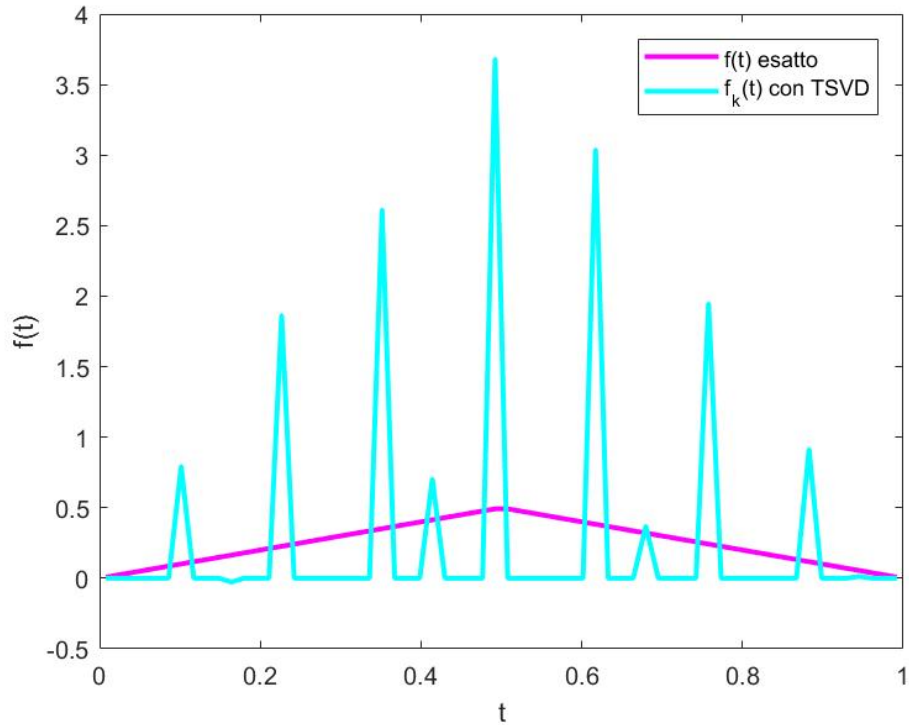


Figura 8: Il grafico di f esatto e f_k ottenuto usando la SVD troncata

Codici Matlab

```
1 % Calcolo Scientifico
2 % Quarto Progetto
3 % Primo Esercizio
4 % Problema Inverso
5
6 clear all , close all
7
8 nn=[8 16 32 64]; % il numero di intervalli
9 for n=nn
10     m=100; % per s
11     K=@(s,t) s.*(t-1)*(s<t)+t.*(s-1)*(s>=t); % kernel K(
        s,t)
12
13     % metodo del punto medio (punti medi tra 0 e 1)
14     ds=1/m;
15     s=ds/2:ds:1-ds/2;
16     dth=1/n;
17     t=dth/2:dth:1-dth/2;
18     for i=1:m
19         for j=1:n
20             KK(i,j)=K(s(i),t(j));
21         end
22     end
23     A=1/n*KK; % la matrice A
24 end
25
26 %% decomposizione in valori singolari (SVD) per n=64
27
28 n=64;
29 cond(A);
30 rank(A);
31 [U,S,V]=svd(A);
32
33 for j=1:n
34     mu(j)=1/(pi*j)^2; % valori singolari esatti
```

```

35     err(j)=abs(S(j,j)-mu(j)); % errore
36 end
37
38 % il grafico dell'errore tra valori singolari esatti e
39 % valori singolari ottenuti
40 figure(1), plot(err, 'r-o')
41 xlabel('i');
42 ylabel('errore');
43 figure(2), plot(err, 'r-o')
44 xlabel('i');
45 ylabel('errore');
46 xlim([30 60]);
47
48 %% le funzioni g,f esatte; il rumore gaussiano
49
50 % la funzione g data:
51 g=@(s)((4*s^3-3*s)/24)*(s<1/2)+((-4*s^3+12*s^2-9*s+1)
    /24)*(s>=1/2);
52 % la funzione f=g'' esatta:
53 f_ex=@(t)t*(t<0.5)+(1-t)*(t>=0.5);
54
55 for i=1:m
56     for j=1:n
57         gg(i)=g(s(i));
58         ff_ex(j)=f_ex(t(j));
59     end
60 end
61 f=A\gg'; % f ottenuta
62
63 % il grafico di f esatto vs. f ottenuto
64 figure(3), plot(t, ff_ex, 'k', 'LineWidth', 2), hold on
65 plot(t, f, 'c', 'LineWidth', 2), hold on
66 legend('f(t) esatto', 'f(t) ottenuto'),
67 xlabel('t'), ylabel('f(t)'), hold off
68
69 % perturbazione di dati gg_i con un rumore gaussiano->
    g-p
70 var=(5e-5)^2;

```

```

71 gp=gg+sqrt(var)*randn(size(gg));
72
73 % il grafico di g esatto vs. g con rumore gaussiano
74 figure(4), plot(s,gg,'k'), hold on
75 plot(s,gp,'y'), hold on
76 legend('g(s) esatto','g(s) con rumore gaussiano'),
77 xlabel('s'), ylabel('g(s)'), hold off
78
79 %% la soluzione "naive"
80
81 fp=A\gp';
82 % il grafico di f esatto vs. f naive
83 figure(5), plot(t,ff_ex,'m','LineWidth',2), hold on
84 plot(t,fp,'c','LineWidth',2), hold on
85 legend('f(t) esatto','f-N(t) naive')
86 xlabel('t'), ylabel('f(t)'), hold off
87
88
89 %% regolarizzazione di Tikhonov
90
91 Id=eye(size(A'*A));
92 lambda_grande=1e-3;
93 lambda_piccolo=1e-7;
94 flambda_grande=(A'*A+lambda_grande*Id)\(A'*gp');
95 flambda_piccolo=(A'*A+lambda_piccolo*Id)\(A'*gp');
96 % il grafico
97 figure(6), plot(t,ff_ex,'m','LineWidth',2), hold on
98 plot(t,flambda_grande,'b','LineWidth',2), hold on
99 plot(t,flambda_piccolo,'c','LineWidth',2), hold on
100 legend('f(t) esatto','f_{\lambda}(t) con \lambda grande
      ', 'f_{\lambda}(t) con \lambda piccolo')
101 xlabel('t'), ylabel('f(t)'), hold off
102
103 % L-curve
104 lambda=logspace(-10,-1,1000);
105 Id=eye(size(A'*A));
106 for i=1:numel(lambda)
107     flambda=(A'*A+lambda(i)*Id)\(A'*gp');

```

```

108     norma(i)=norm(flambda,2);
109     res(i)=norm(A*flambda-gp',2);
110 end
111 figure(7), loglog(res,norma,'b','LineWidth',2)
112 xlabel('norma residuo ||A*f_{\lambda}-g||')
113 ylabel('norma soluzione ||f_{\lambda}||')
114
115 %% regolarizzazione TSVD
116
117 % il grafico dei valori singolari
118 figure(8), plot(diag(S),'m-o');
119 xlabel('i')
120 ylabel('\sigma_i')
121
122 % TSVD
123 soglia=0.001;
124 for i=1:n
125     if( S(i,i)<soglia )
126         S(i,i)=0;
127     end
128 end
129 Ak=U*S*V';
130 fk=Ak\gp';
131 figure(9), plot(t,ff_ex,'m','LineWidth',2), hold on
132 plot(t,fk,'c','LineWidth',2), hold on
133 legend('f(t) esatto','f_k(t) con TSVD')
134 xlabel('t'), ylabel('f(t)'), hold off

```